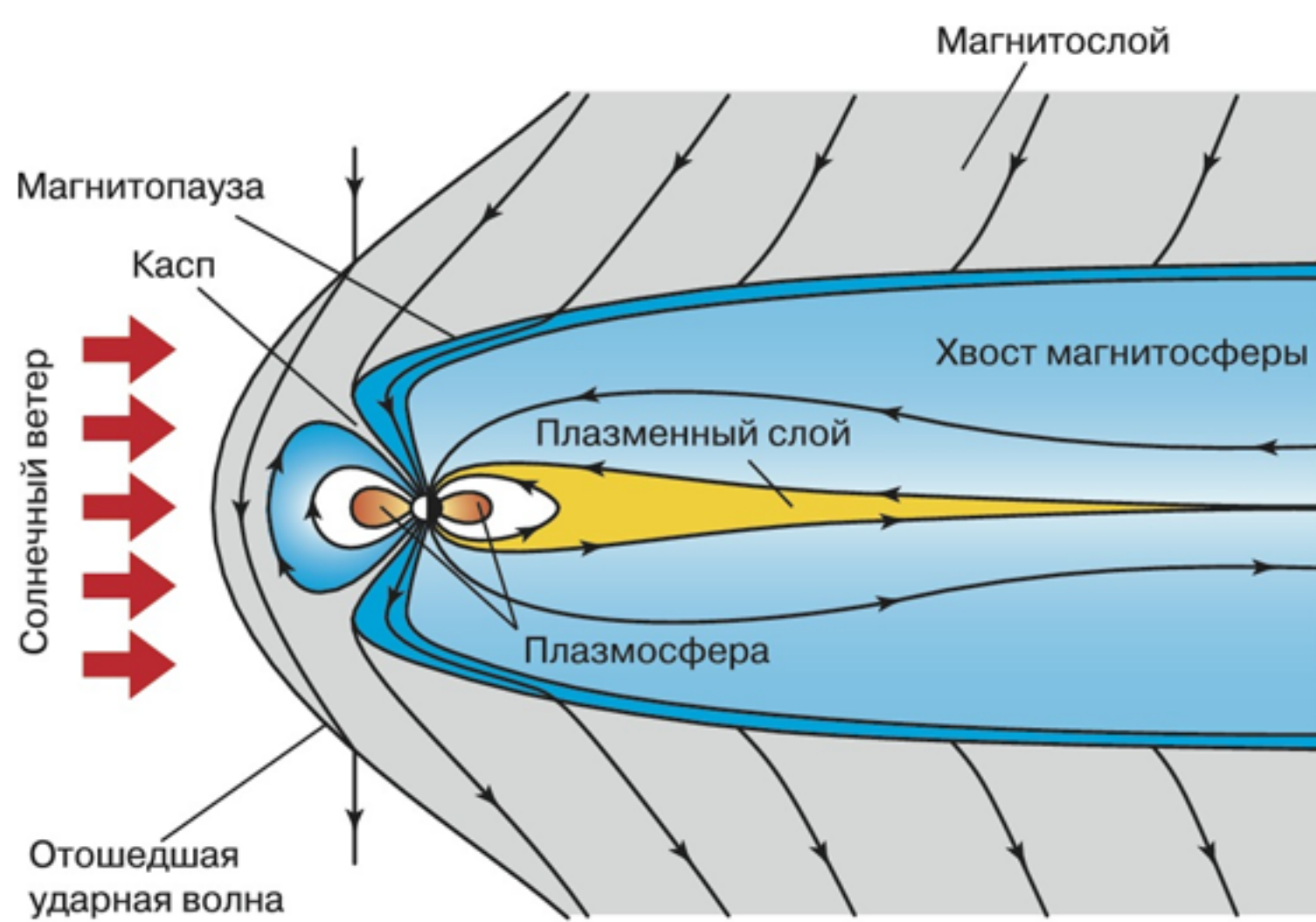


# ВРЕМЕННЫЕ МАСШТАБЫ КОГЕРЕНТНОСТИ ПУЛЬСАЦИЙ МАГНИТНОГО ПОЛЯ ДИАПАЗОНА 1-5 мГц В ГЕОМАГНИТНОМ ХВОСТЕ И НОЧНОМ МАГНИТОСЛОЕ

Д. А. Стуков<sup>1</sup>, Н. В. Ягова<sup>1</sup>

<sup>1</sup>Институт физики Земли им. О.Ю. Шмидта Российской академии наук (ИФЗ РАН), Москва, Россия, sda@ifz.ru



В работе изучался отклик в магнитосферном хвосте в диапазоне 1-5 мГц на **внешнее воздействие**

**Внешнее воздействие** – флюктуации динамического давления солнечного ветра

Ранее было выявлено, что **пространственный масштаб когерентности пульсаций** в геомагнитном хвосте и их связь с **вариациями геомагнитного поля** в ночном магнитослое **зависит от интенсивности** **внемагнитосферных флюктуаций** в том же частотном диапазоне.

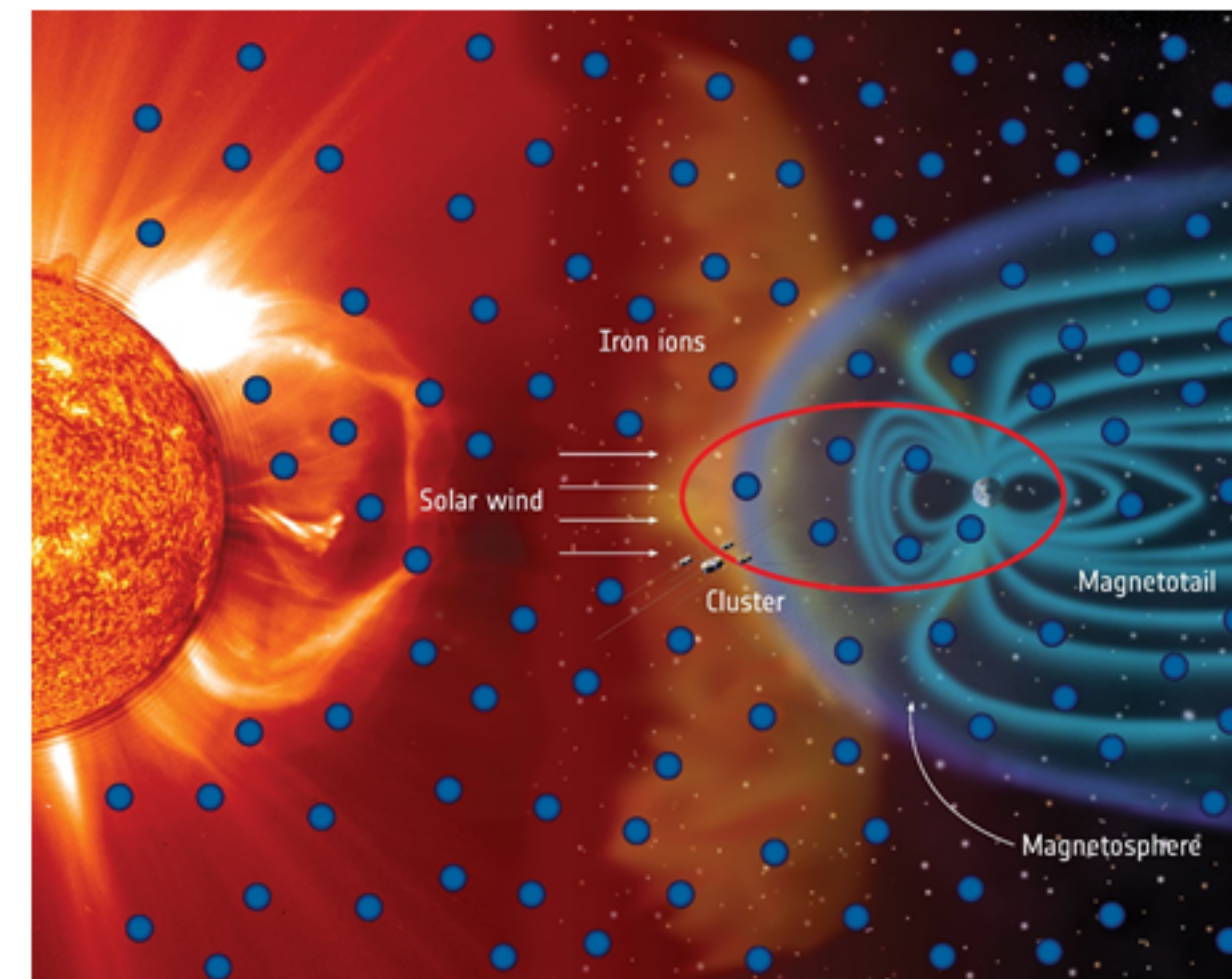
При удалении от Земли частота пульсаций уменьшается, причем в дальнем хвосте преобладают бегущие волны, а в ближнем хвосте – стоячие. [Zhang et al., 2018]

можно выделить группы пульсаций разного пространственного масштаба: **крупномасштабные** (порядка или больше  $10R_E$ ) и более **мелкомасштабные** с характерным масштабом порядка  $R_E$ .

Амплитуда более **мелкомасштабных пульсаций** контролируется **амплитудой флюктуаций ММП и динамического давления СВ**, в то время как для **крупномасштабных пульсаций** такого не наблюдается.

В предыдущих работах все оценки когерентности выполнялись для **одной длины спектрального интервала**. (временного интервала от которого считался спектр) [Ягова и др., 2024].

В настоящей работе **длина интервала  $T$  – варьируется**, что позволяет оценить не только абсолютные значения спектральной когерентности  $\gamma^2$  для одного значения длины интервала  $T$ , но и характер зависимости  $\gamma^2(T)$ .



## Миссия cluster

четыре спутника расстояние между ними меняется от 0.3 до  $2.5 R_E$

измерения осуществлялись магнитонасыщенным (fluxgate) магнитометром с исходным временным шагом около 4 с

## Первичная обработка данных

выбор положений спутников по данным SSCWEB [<https://sscweb.gsfc.nasa.gov/>]

отбор данных **без выбросов** и поворот в систему координат по магнитному полю

Поворот осуществлялся с использованием данных собственных измерений спутника: для времени  $t_0$  текущее значение вектора магнитного поля определялось в скользящем окне длительностью 20 минут ( $t_0 \pm 10$  минут).

Компонента  $B_t$  ориентирована вдоль главного магнитного поля,  $B_r$  перпендикулярна ей и лежит в плоскости, образованной касательной к линии поля и проходящей через центр Земли, а  $B_\phi$  образует с ними правую тройку векторов.

## Анализ данных

три варианта взаимного расположения спутников: оба спутника в доле хвоста (both in), пересечение магнитопаузы (MP crossing), оба спутника в магнитослое (both out).

Обработка данных проводилась в среде Python с использованием библиотеки Scipy

**Параметры:**  $window = 'blackman'$ ,  $nperseg = 32$ ,  $noverlap = 24$ ,  $nfft = 128$ , окно Блэкмана: ширина окна - 16 минут, перекрытие окон – 4 минуты

для отбора событий использовалось условие на спектр мощности

$$P_{max} \cdot f_{max}^\alpha > P_b$$

1-5 мГц при  $\alpha = 1.5$ ,  $P_b = 5$ , где  $f_{max}$  – частота максимума,  $P_{max} = \max(P(f))$ .

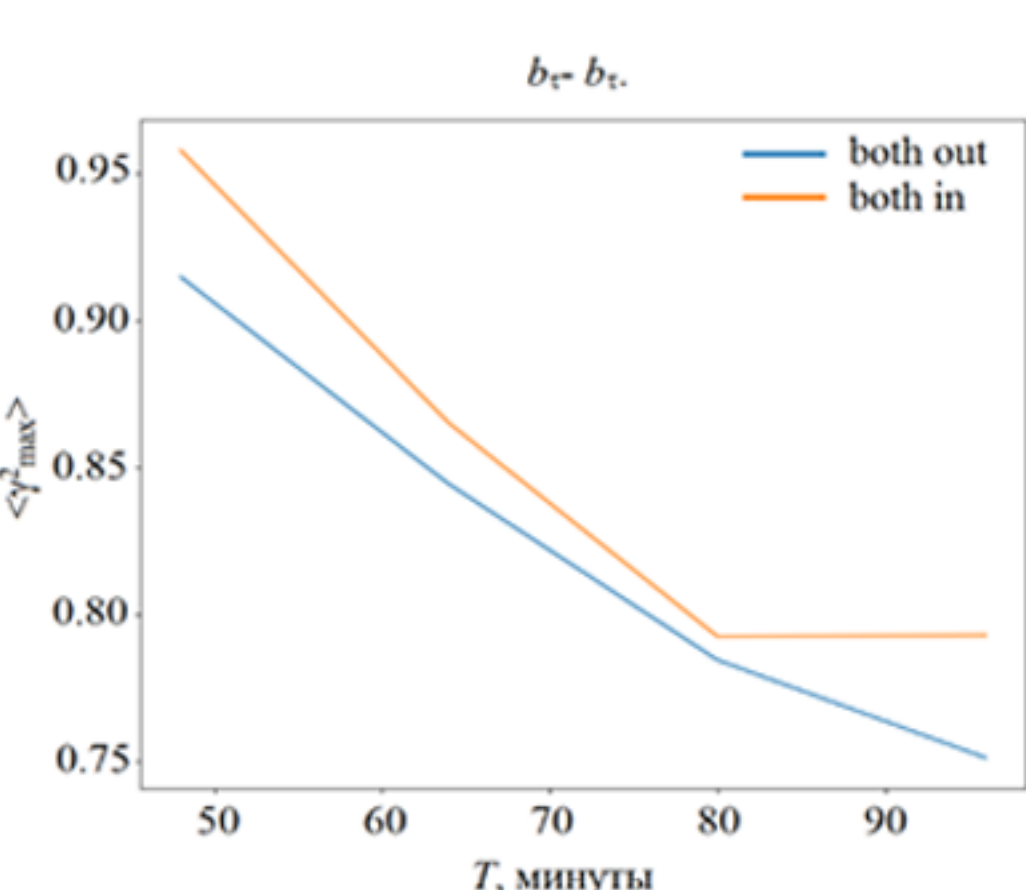


Рис 1. Зависимость средних по всем интервалам с заданным положением спутников значений  $\gamma_{\max}^2$  от длины интервала для пары компонент  $b_\tau - b_\tau$ .

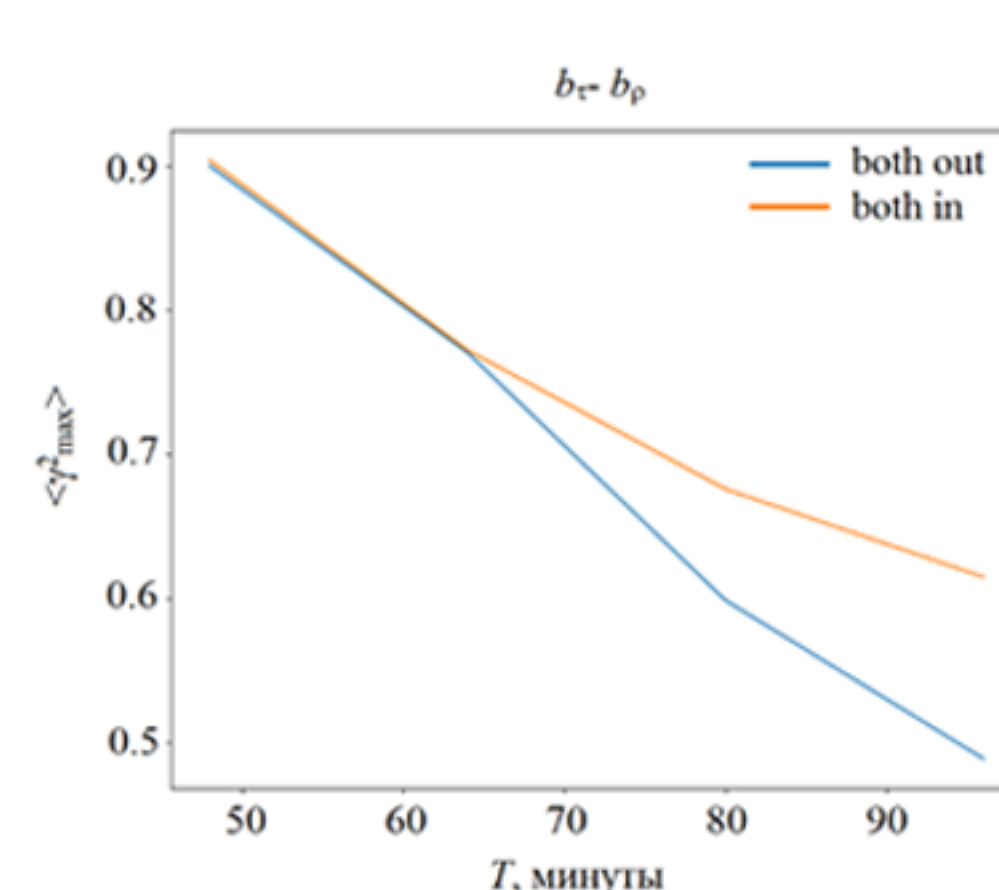


Рис 2. То же для пары компонент  $b_\tau - b_\rho$ .

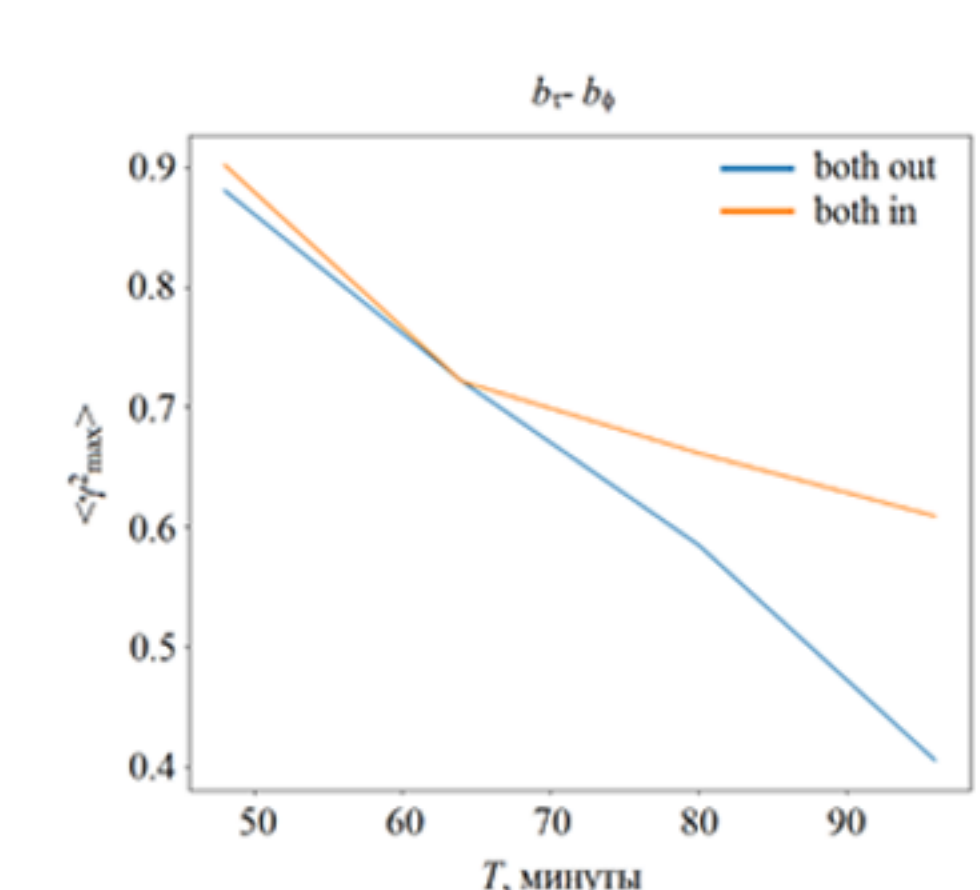


Рис 3. То же для пары компонент  $b_\tau - b_\phi$ .

Характер зависимости  $\langle \gamma_{\max}^2 \rangle(T)$  позволяет выделить две области масштабов с границей около 1 часа. На меньших временах отличие между когерентностями вне- и внутримагнитосферных пульсаций мало, а на больших временах они становятся существенными.

Смена режима при  $T=64$  минут особенно явно проявляется для пар, включающих нормальные к главному магнитному полю компоненты (рис 2-3). Для продольной компоненты отличие сохраняется во всем диапазоне изменения  $T$ , а граница режимов сдвинута к большим длительностям, причем для геомагнитного хвоста при  $T=80$  мин зависимость выходит за пределы.

Полученные результаты показывают необходимость учитывать при анализе низкочастотных геомагнитных пульсаций, типичных для внешних областей магнитосферы, геомагнитного хвоста и магнитослоя, не только абсолютное значение спектральной когерентности, но и характер его зависимости от длины интервала.